

ردیابی جهش در اگزون‌های ۳، ۱۰ و ۱۲ زن BRCA1 در ۳۰ بیمار مبتلا به سرطان پستان فامیلی

حسین تیموری* ، دکتر پروین مهدی‌پور** ، دکتر مرتضی عطرب*** ، محمد رضا میرزاوی****

چکیده

سرطان پستان یکی از شایع‌ترین علل مرگ در میان زنان مبتلا به سرطان می‌باشد. بیش از نیمی از خانواده‌های دارای سرطان پستان فامیلی در زن مستعد کننده به سرطان ، معروف به *BRCA1* جهش نشان می‌دهند. در این مطالعه نمونه خون ۳۰ زن مبتلا به سرطان پستان که سابقه فامیلی در بروز بیماری داشتند ، مورد بررسی قرار گرفت. روش غیررادیواکتیو PCR-SSCP به منظور تشخیص جهش زایی در اگزون‌های ۳، ۱۰ و ۱۲ زن *BRCA1* مورد استفاده واقع شد که منجر به شناسایی دو جهش در اگزون ۳ و دو جهش در اگزون ۱۲ گردید. در اگزون ۱۰ جهشی شناسایی نشد. تجزیه و تحلیل آماری به دلیل تعداد کم جهش شناسایی شده ، بین وجود جهش و مشخصات آسیب‌شناختی رابطه معنی‌داری نشان نداد. نتایج این مطالعه نشان می‌دهد این سه اگزون کمتر دچار جهش زایی می‌شوند. با بررسی مطالعات مشابه در دیگر کشورها و همخوانی نتایج این مطالعه با آنها ، می‌توان نتیجه گرفت که جهش در اگزون‌های ۳، ۱۰ و ۱۲ اکمتر اتفاق می‌افتد.

واژه‌های کلیدی: سرطان پستان ، جهش ، SSCP ، *BRCA1*

*- عضو هیأت علمی دانشگاه علوم پزشکی گرگان - نشانی: دانشکده پزشکی گرگان ، تلفن: ۰۷۱-۲۴۳۱۸۵۵-۶

- عضو هیأت علمی دانشگاه علوم پزشکی تهران ، دانشکده بهداشت ، گروه زیست‌آنسانی- عضو هیأت علمی دانشگاه علوم پزشکی تهران ، دانشکده پزشکی - انتسابیوکاتسر

غیردادیواکتیو PCR^۹-SSCP^{۱۰} مورد بررسی فرار گرفتند.

وسایل و روش‌ها

افراد مورد بررسی زنان بستری در بخش سرطان بیمارستان امام خمینی و بیمارستان دی تهران بودند که برای معالجه سرطان بستان مورد حراجی فرار گرفتند. ابتدا بیماران به وسیله متخصص رُنْتِیک مشاوره، و سپس از میان آنها ۳۰ بیمار که سابقه عود بیماری در خویشاوندان درجه یک و دو داشتند، انتخاب شدند. مشخصات آسیب‌شناختی بیماران از پرونده‌های آنها استخراج گردید. نمونه‌های خون آنها در لوله‌های حاوی EDTA به آزمایشگاه انتقال یافت و به روش ایزوپروپانول استخراج DNA آنها صورت گرفت. DNA خالص در بافر TE در دمای ۴°C نگهداری گردید. ۱۱ گزون‌های ۳، ۱۰ و ۱۲ افراد مورد مطالعه با روش PCR^{۱۲} (سیکل، ۹۴°C یک دقیقه، ۵۶°C چهل و پنج ثانیه و ۷۲°C ثانیه) تکثیر شدند. جدول ۱ توالی پرایمرهای مورد استفاده را که آزادسازی‌بین‌المللی سرطان (IARC)^{۱۳} در اختیار مجریان طرح فرار داده بود، نشان می‌دهد.

محصولات PCR به منظور تایید واکنش، روی ژل آگارس^{۱۴} درصد الکتروفورز و سپس نمونه‌ها برای تشخیص جهش با نکنیک SSCP^{۱۵} تجزیه و تحلیل شدند. ماتریکس ژل پلی اکریل آمید و دریک مورد MDE^{۱۶} بود و از رنگ آمیزی نقره^{۱۷} برای رنگ آمیزی ژل کمک گرفته شد. TBE به عنوان بافر الکتروفورز استفاده گردید و هر ژل با ولتاژ ۷۰ به مدت ۲۰ ساعت تحلیل داده‌ها بکار گرفته شد.

۱ - Proband

2 - Breast cancer

3 - Breast cancer

4 - Hereditary Breast Cancer

5 - Tumour Suppressor Gene

6 - Nuclear Localization Sequences (NLS)

7 - Ring Finger(RF) 8 - Familial Breast Cancer

9 - Single Stranded Conformation Polymorphism

10 - Polymerase Chain Reaction

11 - International Agency for Research on Cancer (IARC)

12 - Silver staining

مقدمه

سرطان بستان شایع ترین نوع سرطان در زنان می‌باشد. تقریباً ۱۰٪ مصدق زنان به درجات مختلفی از سرطان بستان، دچار می‌شوند. سرطان بستان را از نظر استعداد رُنْتِیکی به سه دسته سرطان بستان تک گیر، فامیلی و ارثی تقسیم می‌کنند. مواردی از سرطان را که خویشاوندان درجه یک و دو فرد شاخص^۱ مبتلا می‌شوند و از تعریف سرطان بستان ارشی تبعیت نمی‌کنند، در دسته سرطان بستان فامیلی فرار می‌دهند. ۲۳ درصد مبتلایان در این دسته قرار می‌گیرند^(۱).

دو ژن BRCA1^۲ و BRCA2^۳ مهم‌ترین ژن‌های دخیل در سرطان بستان می‌باشند^(۲). جهش در ژن BRCA1 در ۵ درصد موارد سرطان بستان فامیلی مشاهده می‌شود. این رقم در مبتلایان به سرطان بستان ارثی^۴ به ۸۵ درصد می‌رسد. از این رو ژن BRCA1 به عنوان ژن مستعد کننده یا پیش آمدگی سرطان بستان ارثی به حساب می‌آید^(۳).

BRCA1 یک ژن سرکوبگر توده^۵ می‌باشد. این ژن در جایگاه ۱۷۷-۲۱ قرار گرفته، طولی برابر ۱۰۰ کیلو باز داراست و شامل ۲۲ گزون کدکننده و ۱۲ گزون غیرکدکننده (۱ گزون‌های ۱ و ۲۴ می‌باشد^(۴). عملکرد آن هنوز کاملاً مشخص نیست ولی در مقالات مختلف دخالت در ترمیم DNA^(۵)، تنظیم چرخه سلولی^(۶)، تمایز و تکامل جنین^(۷) و عامل نسخه‌داری^(۸) به آن نسبت می‌دهند.

از میان اگزون‌های کدکننده، ۱ گزون ۱۱ با طولی برابر ۳/۴ کیلو باز بخش اعظم ژن را شامل می‌شود و بخش‌های راهبردی بروتین مانند NLS^۹، محل اتصال RAD51 و گرانین را در خود جای داده است. ۱ گزون ۳ حدود ۳۱۵ (hp) جفت باز طول دارد و در ساختمان RF^۷ شرکت می‌کند. ۱ گزون ۱۰ با طولی برابر ۲۲۰ (hp) جفت باز در ناحیه مجاور NLS قرار دارد. ۱ گزون ۱۲ نیز بعد از ناحیه اتصال RAD51 قرار گرفته و حدود ۲۲۰ (hp) جفت باز طول دارد^(۹).

در این مطالعه ۳۰ بیمار مبتلا به سرطان بستان فامیلی^۸ به منظور تشخیص جهش زایشی در اگزون‌های ۳، ۱۰ و ۱۲ به روش

جدول ۱: مشخصات پرایمرهای اگزون ۳، ۱۰، ۱۱ و ۱۲

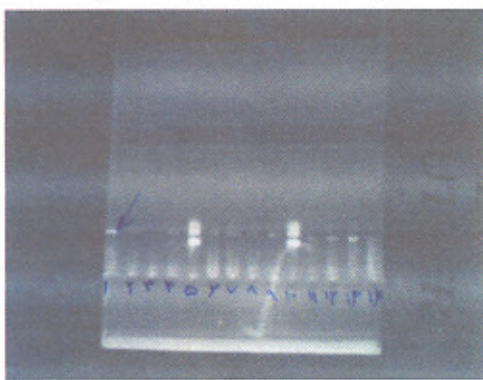
Gene	Exon	Primer	Sequence
BRCA1	3	Forward	5'TCCTGACACAGCAGACATTAA-3'
		Reverse	5'TTGGACTTTCTGTTCTCACTTA3
	10	Forward	5'TGGTCAGCTTCTGTAATCG-3
		Reverse	5'STATCTACCCACTCTCTCTTCAG-3
12	Forward	5'GTCCTGCCAATGAGAAGAAA-3'	
		Reverse	5'TGTAGCAAACCTAAGAATGT-3

جدول ۲: توزیع فراوانی سن، محل توده، درگیری غدد لنفاوی و وضعیت گیرنده استروژن در ۳۱ بیمار مورد بررسی

سن			محل توده		درگیری غدد لنفاوی		وضعیت گیرنده استروژن		نامعلوم	متغیر	متغیر	متغیر	متغیر
	≤۲۵	>۳۵	راست	چپ	مشتبه	منفی	مشتبه	منفی					
۷	۲۳	۱۳	۱۷	۱۵	۱۵	۱۵	۱۶	۶	۸	فراآنی			
۲۳/۳	۷۶/۶	۴۳/۳	۵۶/۷	۵۰	۵۰	۵۳/۳	۲۰	۲۶/۶	۰	فراآنی نسی (در حصار)			

در پایان کار به کمک آزمایش SSCP، دو جهش در اگزون ۳

و دو جهش در اگزون ۱۲ شناسایی شد که جدول ۴ مشخصات آسیب شناختی بیماران دارای حجهش را نشان می‌دهد.



شکل ۱: عکس از زل اگارز که در آن نمونه ها از ۱ تا ۱۲ بارگذاری شده اند. ستون های ۱، ۲، ۳ و ۴ محصولات PCR مربوط به اگزون ۳ می باشد. ستون ۵ و ۱۰ نشانگر ۱۲ است. ستون های ۶، ۷، ۸ و ۹ مربوط به اگزون ۱۰ و ستون های ۱۱، ۱۲ و ۱۳ مربوط به اگزون ۱۲ می باشد. ستون ۱۴ خالی است. در ستون ۲ بالندی مشاهده نمی شود که به دلیل صورت نگرفتن واکنش PCR می باشد و آزمایش دوباره باید تکرار شود. فلش در سمت چپ تصویر باند شاخص هر اگزون را نشان می دهد.

جدول ۳: توزیع فراوانی انواع تشخیص آسیب شناختی و درجه تمایز توده در بیماران مورد مطالعه

تشخیص آسیب شناختی							درجه تمایز توده				
۱-Inv.DC	۲-Inf.DC	۳-Inf.LC	۴-Inv.PC	۵-fibro	unkown	II	III	IV	unkown	فراآنی	
۱۶	۹	۲	۱	۱	۳	۴	۱۶	۱	۹	۰	
۴۶/۶	۳۰	۶/۶۷	۳/۳۳	۳/۳۳	۱۰	۱۳/۳	۵۲/۲	۳/۳۳	۳۰	۰	

1- Invasive Ductal Carcinoma

2- Infiltrative Ductal Carcinoma

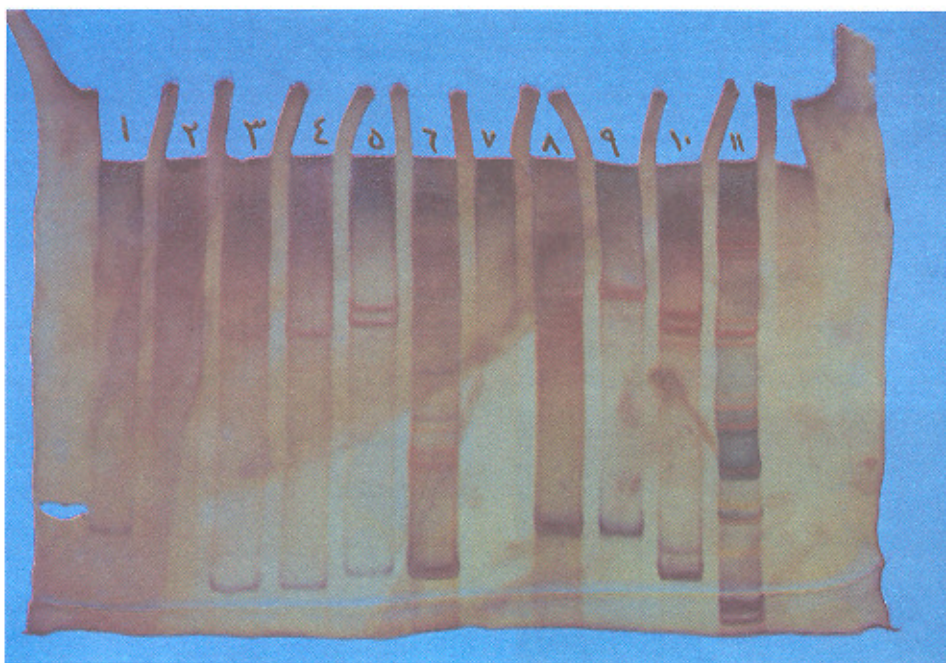
3-Infiltrative Lobular Carcinoma

4- Invasive Papillary Carcinoma

5- Fibroadenoma

جدول ۴: مشخصات آسیب شناختی بیماران دارای جهش در افراد مورد مطالعه به روش PCR-SSCP

سن	محل توده	اندازه توده سانتی متر	تشخیص آسیب شناسی	درجه تمایز توده	لنفاوی	وضعیت گیرنده استروژن	اگزون
۱۵	R	۹/۵	Inv.DC	?	+	+	۳
۷۵	L	۱	Inv.DC	?	-	-	۳
۱۵	R	۹/۵	Inv.DC	?	+	+	۱۲
۲۹	R	۲	Inf.LC	III	+	+	۱۲

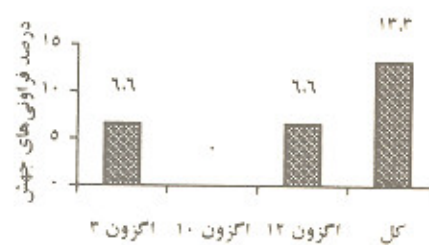


شکل ۲: نتایج حاصل از PCR-SSCP محصولات چندین اگزون به منظور نشان دادن توانایی تمیز اگزون ها. ستون ۱ و ۱۲ اگزون سه، ستون ۳ و ۱۴ اگزون ۱۰، ستون ۵ و ۱۱ اگزون ۱۲، ستون ۶ اگزون ۱۱ و ستون ۷، خطای PCR را نشان می دهد. ستون ۸ و ۹ اگزون ۱۴ و ستون آخر نشانگر VIII می باشد.

نمودار ۱ مربوط به توزیع فراوانی جهش در سه اگزون به قرار تحلیل آماری فیشر هیچ رابطه معنی داری بین جهش ها و مشخصات آسیب شناختی در سطح ۰/۰۵ نشان نداد.

بحث

باید در نظر داشت که تعیین ارشی یا فامیلی بودن سرطان پستان از نظر بالینی بسیار مشکل است، به همین خاطر در بیشتر مطالعات پایه معمولاً تعدادی بیمار که در خانواده آنها سابقه ابتلا وجود دارد انتخاب کرده، آنها را از حيث جهش زایشی مورد بررسی قرار می دهند (۱). مطالعه حاضر نیز بر همین پایه نمونه های خود را انتخاب نمود. این تشابه ما را قادر می سازد که نتایج به دست آمده از این مطالعه را با دیگر مطالعات به راحتی مقایسه کنیم.



نمودار ۱: نمایش توزیع فراوانی جهش در اگزون ۳، ۱۰ و ۱۲ در بیماران مبتلا به سرطان پستان اولیه

جدول ۵ جهش در اگزون‌های ۳ و ۱۰ و ۱۲ زن BRCA1

Reference	Population	Frequency	Effect	Mutation type	Codon	Nucleotide	Exon
۱۲	Ashkenazi	1/50	Stop at 39	Frameshift	33	230delAA	3
۱۳	Japan	1/30	Polymorphism	Silent	-	23	3
۱۴	U.S.A	1/33	Polymorphism	Silent	38	233	3
۱۵	Ashkenazi	1/45	Polymorphism	Silent	38	233	3
۱۲	Ashkenazi	1/50	Exon 3 deleted	Splice Site	?	?	3
۱۶	Canada	1/32	Tyr → cys	Missense	42	?	3
۱۷	France	?	Stop at 49	Frameshift	49	243del	3
۱۵	Ashkenazi	1/45	?	Unknown	?	731	10
۱۰	Italy	1/35	delAG-ter	Frameshift	1374	4239	12
۱۸	German	1/27	delAG-ter	Frameshift	1389	4283	12
۱۴	U.S.A	1/33	C → T	Nonsense	1395	4302	12
۱۵	Ashkenazi	1/45	C → T	Nonsense	1395	4302	12
۱۹	England	?	C → T	Unknown	1396	4302	12
۱۳	Japan	1/30	Polymorphism	Missense	1421	4410	12

کشورها انجام شده است. همان طور که مشاهده می‌شود در کشورهای ژاپن، آمریکا، کانادا، فرانسه، ایتالیا و انگلیس فراوانی جهش در اگزون‌های ۳ و ۱۰ بسیار پایین است. در جدول فقط یک جهش در اگزون ۱۰ گزارش شده است. از آن جاکه روی این سه اگزون در خانواده‌های ایرانی بررسی صورت نگرفته بود، نتایج این مطالعه نشان داد که در این گروه از آزمایش شوندگان، نیز مانند دیگر کشورها فراوانی جهش در اگزون‌های ۳، ۱۰ و ۱۲ پایین می‌باشد.

تشکر و قدردانی

از آقایان دکتر مرتضی هاشم‌زاده، دکتر سیروس عظیمی، سیدسید حسینی اصل، مجید خیرالهی و رضا امیرفخاری به خاطر مساعدت و همکاری شایسته‌شان صمیمانه تشکر می‌گردد. از مسؤولان آزمایشگاه ژنتیک دانشکده بهداشت دانشگاه علوم پزشکی تهران و آژانس بین‌المللی سرطان فرانسه IARC نیز به خاطر همکاری‌هایشان متشرکریم.

هرچند روش SSCP روشن و ارزان قیمت برای غربالگری جهش می‌باشد و قادر است با ۹۵ درصد اطمینان جهش را تشخیص دهد، اما برای تعیین دقیق محل و نوع جهش با روش تعیین توالي^۱ مورد بررسی قرار گیرند.

جهش‌های متعددی در زن BRCA1 شناسایی شده است. بیشترین جهش در اگزون ۱۱ گزارش شده است. اگزون‌های ۵، ۲، ۱۹، ۲۰ و ۲۱ به نسبت دیگر اگزون‌ها جهش‌های بیشتری نشان می‌دهند. ۱۱ درصد جهش‌ها از نوع بی معنی^۲ می‌باشند که خود نشان می‌دهند. ۱۱ درصد جهش‌ها از نوع بی معنی^۲ می‌باشند که خود سرطان زایی دارد (۱۳). جهش در اگزون‌های ۳، ۱۰ و ۱۲ به دلیل فوار نگرفتن این سه اگزون در مناطق نقاط داغ^۳ زن کمتر گزارش شده است (۹).

بی معنی بودن نتایج آزمون‌های آماری انجام شده به دلیل نادر بودن جهش در سه اگزون مورد بررسی در این طرح می‌باشد. طبیعی است وقتی ۲ جهش در ۳۰ بیمار تشخیص داده شود هیچ رابطه‌ای با مشخصات آسیب‌شناختی نخواهد داشت.

جدول ۵ خلاصه‌ای از نتایج تحقیقاتی است که در دیگر

منابع

- 1- Kirby J, Bland E, Copeland S, Seymour L, Schwartz G, Tom Shires F, Spencer P. Principles of surgery. Chapter 14, vol 2. 7th Ed. New York: MC Graw Hill, 1999; p: 554-555.
- 2- Marco Van Der L, Csilla Szabo, Istran Beznyak, Gyorgy Liszka. Prevalence of founder BRCA1 and BRCA2 mutation among breast and ovarian cancer. *Int J Cancer*. 2000; 8: 337-740.
- 3- James WE, Paterson A. A review of structure and putative functions of BRCA1. *Disease Markers*. 1998; 13 (2): 261-274.
- 4- Miki Y, Swensen J. A strong candidate for the breast and ovarian cancer. *Science*. 1994; 266: 66-71.
- 5- Bork P, Hofman K. A superfamily of conserved domains in DNA damage. *Hum Molec Genet*. 1995; 4: 2265-2273.
- 6- Chapman MS, Vema IM. Transcriptional activation by BRCA1. *Nature*. 1996; 382 (6593): 678-679.
- 7- Zabludoff SD, Wright WW. BRC1 mRNA is expressed highly during meiosis. *Oncogene*. 1996; 13 (3): 649-653.
- 8- Lewin B, Gene V. Fifth Ed. London: Oxford University Press, 1994; 887-891.
- 9- Startten MR, Wooster R. Hereditary predisposition to breast cancer. *Am J Hum Genet*. 1996; 13: 1031-1039.
- 10- Montagna M, Santacaterina M. Identification of seven new BRCA1 germline mutation. *Cancer Research*. 1996; 56: 5466-5469.
- 11- Hayashi K, PCR SSCP. Landegren ULF, Hayashi K. Laboratory protocols for mutation detection. First Ed. London: Oxford University Press, 1996; pp: 14-26.
- 12- Freedman LS, Szabo CI. Novel inherited mutations and variable expressivity of BRCA1 alleles. *Am J Hum Genet*. 1995; 57 (6): 1284-1297.
- 13- Fukutomi T, Ushijima T. Germline mutation of BRCA1 in Japanese. *Cancer Res*. 1995; 55 (16): 3521-3524.
- 14- Malone KE, Daling JR, Thompson JD. BRCA1 mutation and breast cancer in the general population. *JAMA*. 1998; 279 (12): 922-929.
- 15- Shattuck Eidens D, Dliphant A, MC Clure M. BRCA1 sequence analysis in women at high risk. *JAMA*. 1997; 278 (15): 1242-1250.
- 16- Serova DM, Mazoyer Sylvie, Pufet N. Mutations in BRCA1 and BRCA2 in breast cancer families. *Am J Hum Genet*. 1997; 60 (3): 486-495.
- 17- Stoppa-Lyonnet D, Laurent-Puig P, Essoux L. BRCA1 sequence variations in 160 individuals. *Am J Genet*. 1997; 60 (5): 1021-1030.
- 18- Juan Dony, Jenny C. A high proportion of mutations in the BRCA1 gene. *Hum Genet*. 1998; 103 (2): 154-161.
- 19- Eccels DM, Englefield P, Soulby MA. BRCA1 mutations in Southern England. *British J Cancer*. 1998; 77: 2199-2203.